

افزایش راندمان بویلر نیروگاه حرارتی ذوب آهن اصفهان با استفاده از داده کاوی فازی

محمد باقر نقیبی سیستانی

naghib@yahoo.com

علی وحیدیان کامیاد

avkamyad@yahoo.com

مهندی پارسا

Parsa4mpt@yahoo.com

دانشکده مهندسی دانشگاه فردوسی مشهد

مشهد، ایران

واژه‌های کلیدی: راندمان بویلر، هوای اضافی، داده کاوی فازی

در بعضی مواقع نویز نیز روی آنها تاثیر می‌گذارد، به همین دلیل استفاده از مجموعه‌های فازی در تحلیل این داده‌ها بسیار مفید می‌باشد. در این مقاله یک روش مبتنی بر تکنیک‌های داده کاوی فازی به منظور افزایش راندمان بویلر ارائه شده و سپس کارایی آن با استفاده از یک تست مجازی روی سیستم بویلر نیروگاه حرارتی ذوب آهن اصفهان مورد ارزیابی قرار می‌گیرد. و همانطوریکه از نتایج مشخص است میانگین کمترین افزایش راندمان طی انجام پنج آزمایش برابر با ۰/۶۵۶ درصد است.

۱- مقدمه

یکی از عوامل مهم و تاثیرگذار در راندمان بویلر، سیستم احتراق آن می‌باشد. از آنجایی که فرایند احتراق در سیستم بویلر نیروگاه‌های حرارتی یک فرایند چندورودی چندخروجی، متغیر با زمان و به شدت غیرخطی است تنظیم پارامترهای اصلی و قابل کنترل آن با استفاده از روش‌های کلاسیک مبتنی بر مدل ریاضی مشکل می‌باشد زیرا در این

چکیده

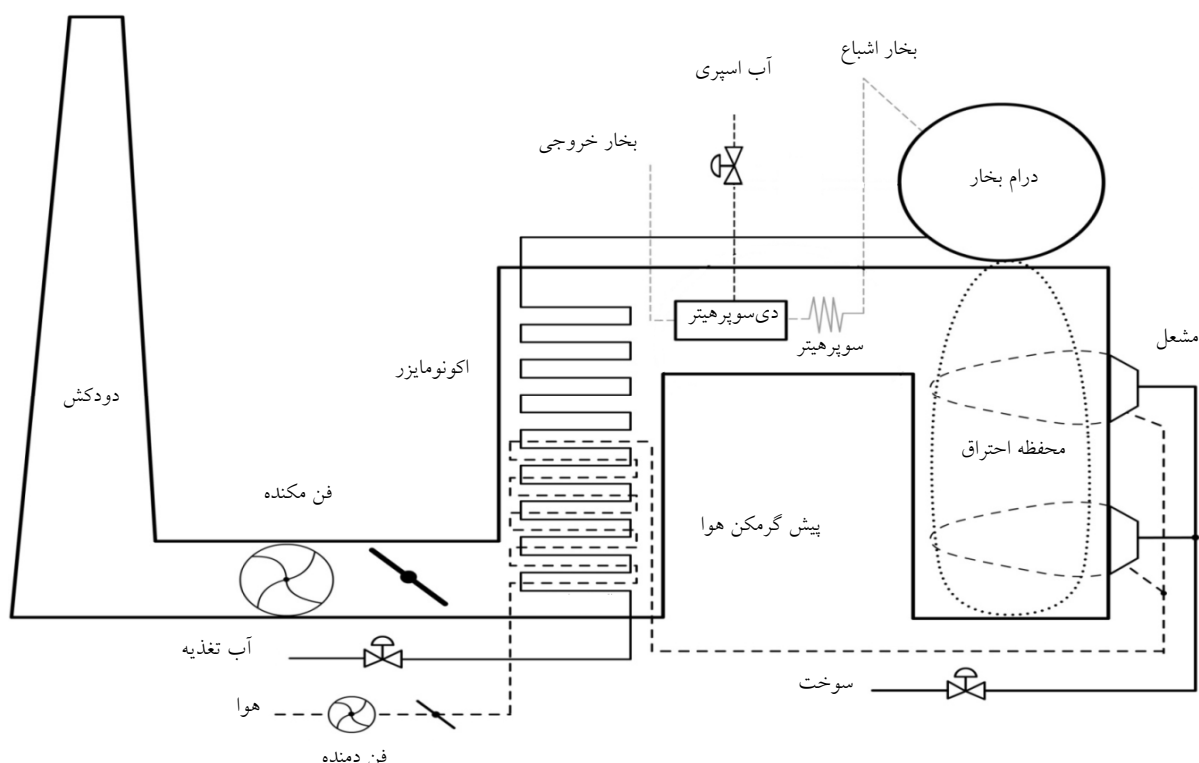
امروزه با توجه به افزایش ارزش انرژی در کشور، یکی از دغدغه‌های جدی در صنایع نیروگاه حرارتی افزایش راندمان بویلرها به کمک بهینه‌سازی بازده احتراق می‌باشد. مسئله بهینه سازی کارکرد سیستم احتراق در یک نیروگاه حرارتی ایجاد یک توازن بین افزایش بازده احتراق و مینیمم سازی انتشار کاژهای نامطلوب می‌باشد. فرایند احتراق در سیستم بویلر یک فرایند چندورودی چندخروجی، متغیر با زمان و به شدت غیرخطی می‌باشد. به همین خاطر تنظیم پارامترهای کنترل پذیر اصلی آن با استفاده از روش‌های کلاسیک مبتنی بر مدل‌سازی مشکل می‌باشد. از آنجایی که سیستم‌های کنترل توزیع شده به طور گسترده در نیروگاه‌ها مورد استفاده قرار می‌گیرد، داده‌های مربوط به پارامترهای بویلر جمع‌آوری و ثبت می‌شوند به همین خاطر استفاده از تکنیک‌های داده کاوی یک روش بسیار موثر به منظور تنظیم بهینه پارامترهای احتراق می‌باشد. با توجه به اینکه داده‌های موجود، خروجی سنسورهای نصب شده روی سیستم است اغلب، داده‌ها دارای دقت مناسب نبوده و

بیست و ششمین کنفرانس بین‌المللی برق

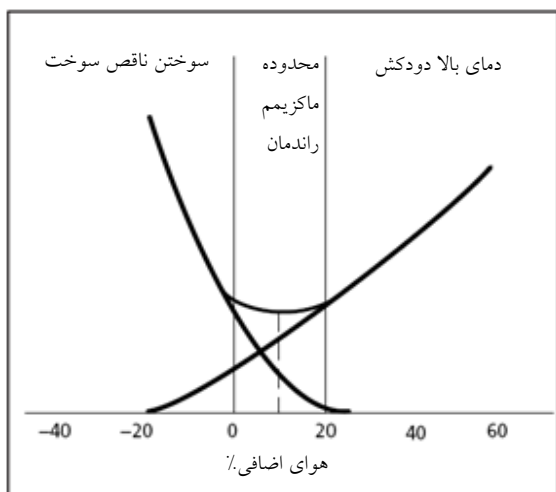
۲- خصوصیات سیستم مورد نظر

بویلر مورد نظر در نیروگاه حرارتی ذوب آهن اصفهان از نوع لوله آبی درام دار (Water Tube) است. این نمونه از بویلرهای معمولاً دارای دو قسمت مجرا هستند. قسمت اول، سیستم آب-بخار می‌باشد که به آن سیستم سمت آب نیز گفته می‌شود. در این سیستم آب پیش گرم شده از اکونومایزر وارد درام بخار می‌شود سپس در داخل لوله‌هایی به سمت پایین جریان پیدا می‌کند. آب در این بین حرارت داده شده تا به حالت اشباع می‌رسد. مخلوط بخار و آب اشباع دوباره به درام بخار بر می‌گردد و بخار از آب جدا شده و از درام بخار خارج شده و وارد سوپرھیتر می‌شود. سوپرھیتر دارای دو مرحله است در دی سوپرھیترها درجه حرارت بخار تنظیم شده و در نهایت بخار وارد کلکتور و از آنجا وارد توربین می‌شود. سیستم دوم، سیستم سوخت-هوا - گازهای دودکش است که به آن سیستم سمت سوخت بویلر نیز گفته تردیدی از این سیستم سوخت و هوایی که قبلاً با عبور از پیش گرمکن‌های هوا دمایش افزایش پیدا کرده است با هم ترکیب شده و مشعل بویلر را مستعمل می‌کند. نتیجه احتراق تبدیل انرژی شیمیایی سوخت به انرژی گرمایی می‌باشد. گازهای حاصل از احتراق پس از عبور از سوپرھیتر، لوله‌های بالابرند و پایین برند آب در درام بخار، اکونومایزر و پیش گرمکن‌های هوا توسط فن مکنده بویلر را از طریق دودکش ترک می‌کنند. یک شماتیک از این بویلرهای در شکل ۱ نشان داده شده است. نکته مهم در مورد بویلر مورد نظر در این مقاله سیستم احتراق آن می‌باشد که در این سیستم سه سوخت گاز کوره بلند، گاز طبیعی و گاز کک به طور همزمان مورد استفاده قرار می‌گیرند که البته در زمانی که تحقیقات مربوط به این مقاله روی این سیستم صورت می‌گرفت فقط دو گاز کوره بلند و طبیعی در این سیستم مورد استفاده بوده است. گاز کوره بلند یک گاز فرایند می‌باشد که طی فرایند صورت گرفته در قسمت کوره بلند کارخانه تولید می‌شود.

روش‌ها نیاز به مدلسازی دقیق سیستم می‌باشد و بدست آوردن یک مدل دقیق ریاضی از فرایند احتراق در سیستم بویلر بسیار مشکل می‌باشد و همچنین در این روش‌ها نتایج حاصله از روش تئوری دارای دقت لازمه به منظور پیاده سازی در پروسه‌های صنعتی نمی‌باشند [۲،۳]. مقالات متعددی به کاربرد روش‌های کلاسیک در این زمینه پرداخته اند که از آن جمله می‌توان به کاربرد روش‌های کترول بهینه [۶]، کترول پیش بین [۵] و کترول چند متغیره و ریاست [۸] در سیستم احتراق بویلر اشاره کرد. به دلیل اینکه در اکثر نیروگاه‌های حرارتی از سیستم‌های کترول توزیع شده استفاده می‌شود، بکارگیری روش‌های داده کاوی در تنظیم پارامترهای مختلف سیستم احتراق بویلر یک روش کارآمد می‌باشد زیرا در این روش‌ها همه شرایط کاری واقعی سیستم بدون هیچگونه محدودیتی در نظر گرفته می‌شود. از جمله مقالات [۴-۲] به کاربرد تکنیکهای داده کاوی در سیستم احتراق بویلر پرداخته اند. در مقالات اشاره شده از روش‌های داده کاوی معمولی (کلاسه بندي، خوش بندی، شبکه عصبی و ...) استفاده شده است. داده‌های ثبت شده از سیستم کترول، خروجی سنسورهای نصب شده روی سیستم می‌باشد و معمولاً همراه با نویز و نادقيق هستند به همین خاطر استفاده از مجموعه‌های فازی در پردازش این داده‌ها و بدست آوردن نتایج دقیق‌تر بسیار مفید می‌باشد. از این رو در این مقاله یک روش داده کاوی مبتنی بر داده‌های فازی ارائه شده و سپس از این روش به منظور بدست آوردن میزان هوا اضافی بهینه در بویلر شماره ۷ نیروگاه حرارتی کارخانه ذوب آهن اصفهان استفاده می‌شود و در نهایت با استفاده از یک تست مجازی عملکرد روش بکار گرفته شده مورد بررسی قرار می‌گیرد. تفاوت عملده و مهم دیگر سیستم مورد نظر در این مقاله و سایر مقالات، مصرف چند سوخت به طور همزمان در این بویلر می‌باشد که این امر باعث مشکل تر شدن حل مسئله به روش‌های کلاسیک می‌باشد زیرا سوختهای مورد مصرف دارای ارزش حرارتی بسیار متغیر با زمان می‌باشند. از مزیت‌های دیگر روش ارائه شده می‌توان به پیاده‌سازی عملی آسان آن با استفاده از سیستم کترول موجود در نیروگاه اشاره کرد.



شکل ۱: شماتیک بویلر



شکل ۲: نمودار مربوط به بازده بویلر بر حسب میزان هوای اضافی

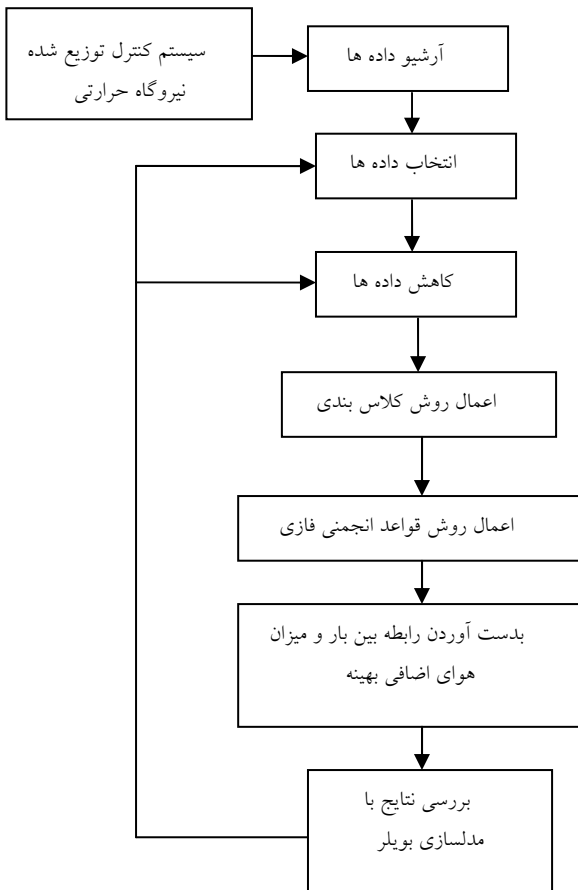
تبديل نشدن کامل کربن موجود در ترکیب سوخت به دی اکسید کربن، نوعی تلفات انرژی به شمار آمده و مقدار این تلفات، متناسب با مقدار مونواکسید کربن تولیدی خواهد بود که همراه با محصولات احتراق به محیط پیرامون تخلیه می‌شود که در این صورت تلفات ناشی از سوختن ناقص سوخت افزایش یافته و باعث کاهش راندمان بویلر می‌شود. بنابراین میزان هوای اضافی پارامتر بسیار مهمی می‌باشد که به

۳- شرح مسئله
از جمله عوامل بسیار مهم و تاثیر گذار روی بازده بویلر و انتشار گازهای خطرناک در سیستم بویلر، میزان هوای اضافی ترکیب شونده با سوخت می‌باشد. هوای اضافی به معنای میزان هوایی می‌باشد که بیش از حد تئوری و برای احتراق کامل سوخت نیاز است.

شکل ۲ رابطه بین درصد هوای اضافی و تلفات بویلر را نشان می‌دهد. همانطوریکه در این شکل نشان داده شده است ماکریم بازده بویلر در یک ناحیه محدودی بدست می‌آید. در صورتیکه میزان هوای اضافی بیشتر از حد مورد نیاز باشد گرمای جذب شده به وسیله این هوای اضافی به جای قرار گرفتن در خروجی مفید سیستم به تلفات سیستم اضافه می‌شود و راندمان بویلر را از طریق افزایش دمای دودکش کاهش می‌دهد. همچنین هنگامی که میزان هوای اضافی کمتر از حد مورد نیاز باشد احتراق به صورت ناقص انجام می‌گیرد و بخشی از کربن موجود در ترکیب هیدروکربنی سوخت به جای تبدیل به دی اکسید کربن (CO_2), به مونواکسید کربن (CO) تبدیل خواهد شد.

بیست و ششمین کنفرانس بین‌المللی برق

وجود اشتباه در مراحل کاهش داده یا انتخاب داده می‌باشد.
(شکل ۳).



شکل ۳: فلوچارت روش بکارگرفته شده

در مرحله اول زمان نمونه برداری داده‌های را به صورت یکسان و برابر یک ثانیه تنظیم می‌کنیم و داده‌های مربوط به پارامترهای بار بویلر (دبی بخار خروجی بر حسب ton/h)، میزان هوای اضافی (٪)، راندمان بویلر (٪) و دمای دودکش بویلر (°C) را در طول یک هفته ذخیره می‌کنیم که نمونه‌ای از این داده‌ها در جدول ۱ نشان داده شده است.

جدول ۱: نمونه ای از داده‌های بویلر

زمان	هوای اضافه	بار بویلر	دماه دودکش	بازده
۱۳۹۰/۳/۴ ۰۰:۰۱	۳۳/۱۴۳	۱۹۴/۶۵	۱۴۳/۶۷	۹۰/۵۸
۱۳۸۹/۳/۴ ۰۰:۰۲	۳۲/۸۸۵	۱۹۴/۷۴	۱۴۳/۶۸	۸۹/۸۴
۱۳۸۹/۳/۴ ۰۰:۰۳	۳۱/۸۸۲	۱۹۴/۵۱	۱۴۳/۶۰	۸۹/۵۳

طور مستقیم در میزان تلفات بویلر تاثیر دارد. از این رو کنترل میزان هوای اضافی در پروسه احتراق یکی از مهمترین کنترل‌های موجود در سیستم بویلر است زیرا علاوه بر اثر مستقیم بر راندمان بویلر روی انتشار گازهای خطرناک به محیط نیز موثر می‌باشد.

۴- روش ارائه شده

اساس روش ارائه شده در این مقاله بر تکنیک‌های داده کاوی و مجموعه‌های فازی می‌باشد که مراحل کلی آن در شکل ۳ نشان داده شده است و به صورت زیر خلاصه می‌گردد:

- ۱) جمع‌آوری داده‌ها: در این مرحله داده‌های بویلر توسط سیستم کنترل توزیع شده جمع آوری و ثبت می‌شود.
- ۲) انتخاب ویژگی‌ها: پس از جمع آوری داده‌ها ویژگی‌های مهم و تاثیرگذار در سیستم احتراق بویلر به منظور اعمال فرایند داده کاوی انتخاب می‌شوند.
- ۳) کاهش داده‌ها: به منظور کاهش حجم داده‌ها، حجم محاسبات و فضای مورد نیاز برای ذخیره داده‌ها از تکنیک‌های کاهش داده استفاده می‌شود.
- ۴) اعمال روش کلاس‌بندی بر اساس بار بویلر: در این مرحله داده‌ها به کلاس‌های از قبل تعیین شده تقسیم‌بندی می‌شوند که ملاک کلاس‌بندی‌ها بار بویلر می‌باشد.
- ۵) اعمال روش داده کاوی فازی مورد نظر به داده‌های پیش پردازش شده و بدست آوردن نتیجه مناسب از روی این داده‌ها که روش بکارگرفته شده در اینجا قواعد-انجمنی فازی می‌باشد.
- ۶) استفاده از روش رگرسیون به منظور برآشش یک منحنی برروی داده‌های بدست آمده در مرحله ۵ و دستیابی به یک رابطه نهایی بر حسب بار بویلر و میزان هوای اضافی بهینه
- ۷) مدلسازی سیستم بویلر و ارزیابی عملکرد میزان هوای اضافی بهینه محاسبه شده بر روی راندمان بویلر. نکته قابل توجه این است که در مرحله ای که نتایج بررسی می‌شود در صورت مناسب نبودن نتایج حاصله امکان

بیست و ششمین کنفرانس بین المللی برق

Y مجموعه ای از ویژگیها هستند. قوانین وابستگی را با استفاده از معیارهای مانند پشتیبانی (*support*) و اطمینان (*confidence*) ارزیابی می کنند. از این رو کشف قوانین وابستگی مسئله کشف همه قوانین $X \rightarrow Y$ است که دارای حداقل پشتیبان و اطمینان تعریف شده باشند. پشتیبان (X, Y) نشان دهنده درصد یا تعداد مجموعه از نمونه هایی است که شامل هر دو ویژگی X, Y باشد و اطمینان یک قاعده میزان وابستگی یک ویژگی به ویژگی دیگر را نشان می دهد و طبق رابطه (۱) محاسبه می گردد.

$$\text{confidence}(X \rightarrow Y) = \frac{\text{support}(X, Y)}{\text{support}(X)} \quad (1)$$

این شاخص درجه وابستگی بین دو ویژگی X, Y را نشان می دهد و به عنوان شاخصی برای اندازه گیری توان یک قاعده در نظر گرفته می شود و غالباً قانونی انتخاب می شود که عدد اطمینان بزرگتری داشته باشد.

الگوریتم های کاوش قواعد انجمنی کلاسیک (*crisp*) فقط روی ویژگی های دودویی (باینری) اعمال می شود [۱۰]. در این صورت نیاز است که هر ویژگی عددی به صورت یک ویژگی باینری تبدیل شود. روش هایی که تاکنون به صورت معمول برای این تبدیل مورد استفاده قرار می گیرد از بازه ها استفاده می کنند. این روشها بر اساس برآذش کردن مقادیر عددی ویژگی ها در بازه ها کار می کنند. که این امر باعث بوجود آمدن یک عدم قطعیت بخصوص در مراتب دامنه های مشخص شده می شود. و همچنین باعث عدم دقت نتایج و از بین رفتن اطلاعات اصلی پایگاه داده می شود. علاوه بر این یک تغییر کوچک در داده های بین رنج ها باعث نتایج بسیار متفاوتی خواهد شد از این رو باعث بوجود آمدن خطاهای بزرگی در نتایج استخراجی از پایگاه داده می شود. یک روش مناسب برای غلبه بر مشکل عنوان شده این است که مقادیر ویژگی ها را به جای تبدیل به دو مقدار صفر و یک به بازه [۰, ۱] تبدیل کنیم که در این روش نمونه های مربوط به

راندمان بویلر در هر لحظه با توجه به روابط و جداول [۱] محاسبه می گردد. تعداد داده ها برای هر پارامتر در طول یک روز برابر ۸۶۴۰۰ است که با اعمال روش میانگین گیری از هر ۶۰ داده، بازه نمونه برداری به بازه های ۱ دقیقه تبدیل می گردد تا علاوه بر کاهش حجم محاسبات و فضای مورد نیاز، تاثیر داده های اشتباه و همراه با نویز در خروجی کاهش یابد. پس از انجام پیش پردازش های عنوان شده با استفاده از روش کلاس بندی، داده ها بر اساس بار بویلر مطابق جدول ۲ در ۶ کلاس تقسیم می گردند. پس از کلاس بندی داده ها برای هر کلاس به طور جداگانه الگوریتم قواعد انجمنی فازی به شرحی که در بخش ۱-۴ توضیح داده خواهد شد بکار گرفته شده و برای هر یک از کلاس ها مناسب با بار بویلر و سایر پارامترها میزان هوای اضافی بهینه محاسبه می گردد.

جدول ۲: کلاس های در نظر گرفته شده

شماره کلاس	محدوده بار
کلاس ۱	$\text{load} \geq 195$
کلاس ۲	$190 \leq \text{load} < 195$
کلاس ۳	$185 \leq \text{load} < 190$
کلاس ۴	$180 \leq \text{load} < 185$
کلاس ۵	$175 \leq \text{load} < 180$
کلاس ۶	$\text{load} < 175$

۴-۱- الگوریتم کاوش قواعد انجمنی فازی

کشف قوانین انجمنی یکی از مهمترین مسائل تحقیقاتی مطرح شده در زمینه داده کاوی است. تکنیک قوانین انجمنی یکی از رایج ترین تکنیک های علم داده کاوی است که طی سالیان اخیر، کاربرد آن در حوزه های مختلف علمی، بسیار مورد توجه قرار گرفته است.

قوانین انجمنی، الگوهای پنهان میان اقلام موجود در پایگاه داده های بزرگ را شناسایی می کند. با داشتن یک پایگاه داده که شامل نمونه های زیادی از ویژگی های مختلف می باشد یک قانون وابستگی عبارتی است به شکل $X \rightarrow Y$ که در آن X و

بیست و ششمین کنفرانس بین‌المللی برق

$$f_p^j = \frac{\mu_p^j(R_1^p)}{R_1^p} + \frac{\mu_p^j(R_2^p)}{R_2^p} + \dots + \frac{\mu_p^j(R_k^p)}{R_k^p} \quad (3)$$

(۲) تشکیل یک مجموعه میانی C_1 به طوریکه جفت $(R_s^p, \mu_p^j(R_s^p))$ برای هر داده در آن قرار می‌گیرد و برای هر تابع تعلق ذخیره شده در این مجموعه، برای هر ویژگی وزن مربوطه از طریق رابطه (۴) محاسبه می‌گردد:

$$weight_{p,s}^j = \sum_{j=1}^n \mu_p^j(R_s^p) \quad (4)$$

که در اصل این پارامتر وزن کلی ویژگی p ام در توابع عضویت مربوط به آن می‌باشد.

(۳) در این مرحله ماکریم وزن ویژگی p ام در توابع عضویتی که برای آن تعریف کرده ایم به صورت (۵) محاسبه می‌گردد:

$$weight_p^{\max} = \max_{s=1}^k (weight_{p,s}^j), p = 1, 2, \dots, m \quad (5)$$

(۴) در این مرحله شرط بزرگتر یا مساوی بودن وزن محاسبه شده در مرحله قبل از مینیمم پشتیبان تعريف شده بررسی می‌گردد. در صورتیکه این شرط برآورده شود تابع تعلق مربوطه در مجموعه مکرر L_1 قرار می‌گیرد. بنابراین مجموعه L_1 به صورت زیر تعریف می‌شود:

$$L_1 = \left\{ R_p^{\max} \mid weight_p^{\max} \geq \min \sup port, 1 \leq p \leq m \right\}$$

به عبارت دیگر در این مرحله تابع عضویت با بیشترین وزن برای ویژگی p ام در مجموعه L_1 قرار می‌گیرد.

(۵) قرار دادن $r=1$ ، بطوریکه r تعداد آیتم‌های قرار گرفته در مجموعه اقلام مکرر L_1 می‌باشد.

(۶) در این مرحله مجموعه کاندید C_{r+1} با به کارگیری الگوریتم پیوند L_r با L_r تشکیل می‌شود. دو مجموعه از L_r با یکدیگر قابل پیوند می‌باشند اگر $r-1$ عضو اول آنها با یکدیگر برابر باشند و مجموعه ترکیب شده دارای $r+1$ عضو خواهد بود که عنصر آخر از مجموعه دوم خواهد بود.

ویژگیهای مختلف بر اساس دامنه [۰, ۱] بیان می‌شوند. در این روش ویژگیهای باینری به وسیله مجموعه‌های فازی بیان می‌شوند که بسیار مطلوب‌تر است [۷]. فرم کلی یک قاعده انجمنی فازی به صورت رابطه (۲) می‌باشد.

$$\text{if } X \text{ is } \tilde{A} \text{ and } y \text{ is } \tilde{B} \text{ then } z \text{ is } \tilde{C} \quad (2)$$

که در این قاعده x, y, z مجموعه از ویژگیهای موجود در پایگاه داده می‌باشد و $\tilde{C}, \tilde{B}, \tilde{A}$ مجموعه‌های فازی هستند که به ترتیب توصیف کننده ویژگی‌های تعریف شده هستند.

در روش ارائه شده از تئوری مجموعه‌های فازی به منظور کاوش قوانین از داده‌های کمی استفاده می‌شود. در این الگوریتم ابتدا هر مقدار کمی توسط توابع تعلق به مجموعه‌های فازی با مفاهیم زبانی تبدیل می‌شود. سپس مقادیر اسکالار هر نمونه را محاسبه کرده و در یک مجموعه میانی ذخیره می‌کند. سپس پرسه استخراج قوانین فازی برای یافتن قواعد انجمنی فازی بکار گرفته می‌شود. در این الگوریتم ورودی‌ها شامل یک پایگاه داده شامل n نمونه از m ویژگی مختلف (یک پایگاه داده $n \times m$ از داده)، یک مجموعه از توابع تعلق فازی و مینیمم پشتیبان و اطمینان تعیین شده می‌باشد. p امین ویژگی در نمونه n ام بوسیله k تابع عضویت بصورت $\mu_p^j(R_s^p)$ بیان می‌شود که در آن $j=1, 2, \dots, n$. تعداد نمونه‌ها، $s=1, 2, \dots, k$ تعداد توابع تعلق و R_s^p توابع تعلق مربوط به ویژگی p ام را نشان می‌دهد. همچنین خروجی این روش یک مجموعه از قوانین انجمنی فازی با پشتیبان و اطمینان بزرگتر یا مساوی مینیمم اطمینان و پشتیبان از قبل تعیین شده می‌باشد.

۴-۱-۱-۱-مراحل الگوریتم

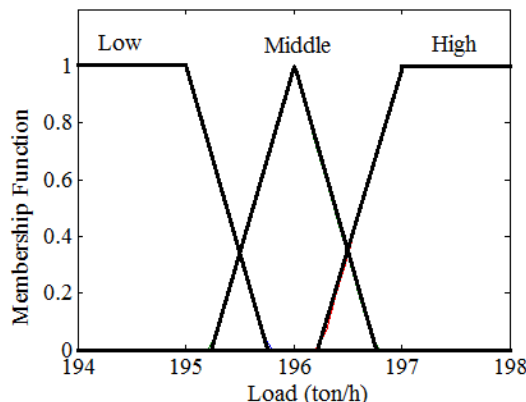
(۱) تبدیل مقدار کمی t_i^j در هر تراکنش T_i به مجموعه فازی f_i^j به طوریکه $i=1, 2, \dots, m$ و $j=1, 2, \dots, n$ نمونه می‌باشد. t_i^j با استفاده از رابطه (۳) به مجموعه‌های فازی تبدیل می‌گردد:

بیست و ششمین کنفرانس بین‌المللی برق

خروجی الگوریتم قواعدی دارای مقدار اطمینان بزرگتر یا مساوی مینیمم اطمینان می‌باشد. به منظور اعمال روش داده کاوی فازی به کلاس‌های مختلف ابتدا باید توابع تعلق فازی مربوط به هر یک از پارامترها را مشخص کنیم. در اینجا برای کلاس ۱ طبق شکل ۴ برای هر یک از ویژگیها سه تابع تعلق Low, Middle, High با اعمال روش ارائه شده به داده‌های بویلر قانون فازی به صورت (۱۰) بدست می‌آید.

$$\text{if LOAD is HIGH and EXCESS AIR is middle then EFFICIENCY is high} \quad (10)$$

این قاعده نشان دهنده این است که اگر بار بویلر در بازه ماکزیمم و میزان هوای اضافی نیز در بازه متوسط تعریف شده قرار داشته باشند آنگاه بازده بویلر در بازه ماکزیمم قرار می‌گیرد. در نهایت با استفاده از یکی از غیر فازی سازهای ماکزیمم، میانگین مرکز یا مرکز ثقل می‌توان مقدار بهینه میزان هوای اضافی را برای دستیابی به ماکزیمم راندمان در بارهای مختلف بدست آورد.



شکل ۴: توابع عضویت مربوط بار خروجی

در اینجا با استفاده از غیر فازی ساز میانگین مرکز خروجی‌های ۹۳۳۴/۱۹۵ برای بار بویلر، ۱۶۱۱/۳۰ برای میزان هوای اضافی بهینه و ۴۶۱۳/۹۰ برای راندمان بویلر بدست می‌آید. با اعمال روش فوق به سایر کلاس‌ها نتیجه کلی جدول ۳ حاصل می‌شود.

۷) برای مجموعه t_{r+1} آیتمی C_{r+1} با اعضای t_e بطوریکه $e=1,2,\dots,r+1$ می‌باشد سه زیر مرحله ۱-۷ و ۲-۷ و ۳-۷ به ترتیبی که عنوان خواهد شد انجام می‌گیرد:

۱-۷) مقدار فازی مربوط به هر یک از t_e را به صورت رابطه (۶) محاسبه می‌گردد:

$$\mu_{t_e}^j = \mu_{p1}^j(R_{p1}^{\max}) \wedge \mu_{p2}^j(R_{p2}^{\max}) \wedge \dots \wedge \mu_{pr+1}^j(R_{pr+1}^{\max}) \quad (6)$$

اگر به جای عملگر اشتراک از مینیمم استفاده کنیم خواهیم داشت:

$$\mu_{t_e}^j = \min_{e=1}^{r+1} \mu_{p_e}^j(R_{p_e}^{\max})$$

۲-۷) وزن هر یک از t_e را با استفاده از رابطه (۷) حساب می‌کنیم:

$$\text{weight}_{t_e} = \sum_{j=1}^n \mu_{t_e}^j \quad (7)$$

۳-۷) اگر وزن محاسبه شده weight_{t_e} بزرگتر یا برابر مینیمم پشتیبان بود، $(t=t_1,t_2,\dots,t_{r+1})$ در مجموعه L_{r+1} قرار می‌گیرد.

۸) اگر تهی بدست آمد به مرحله ۹ بازگشته و در غیر اینصورت $r=r+1$ قرار داده و مراحل ۶ تا ۸ را تکرار می‌کنیم.

۹) قواعد انجمنی را برای مجموعه t_q آیتمی با آیتم‌های (t_1,t_2,\dots,t_q) به صورت زیر بدست می‌آوریم:

۱-۹) فرم همه قواعد انجمنی که احتمال وجود آنها هست به صورت رابطه (۸) می‌باشد:

$$t_1 \wedge \dots \wedge t_{k-1} \wedge t_{k+1} \wedge \dots \wedge t_q \Rightarrow t_k \quad , \quad k=1,2,\dots,q \quad (8)$$

۲-۹) پارامتر اطمینان قوانین انجمنی بدست آمده به صورت (۹) محاسبه می‌شود:

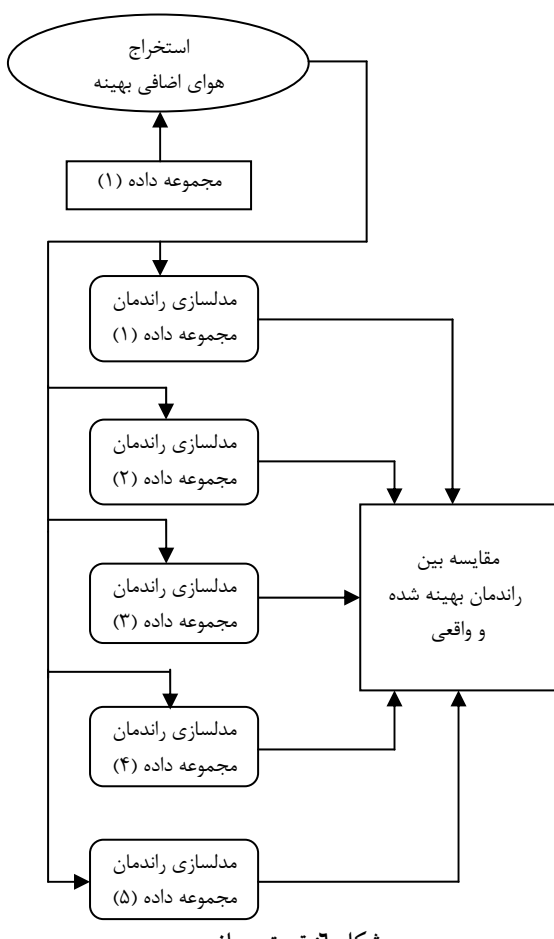
$$\frac{\sum_{j=1}^n \mu_{t_e}^j}{\sum_{j=1}^n (\mu_{t_1}^j \wedge \dots \wedge \mu_{t_{k-1}}^j \wedge \mu_{t_{k+1}}^j \wedge \dots \wedge \mu_{t_q}^j)} \quad (9)$$

بیست و ششمین کنفرانس بین‌المللی برق

میزان هوای اضافی بهینه، از یک تست مجازی بر روی سیستم بویلر که در شکل ۶ نشان داده شده است استفاده می‌گردد. در این تست ابتدا با اعمال روش شرح داده شده، رابطه بین میزان هوای اضافی بهینه و بار بویلر را از مجموعه داده (۱) استخراج می‌گردد (که در بخش ۴ محاسبه شد)، در مرحله بعد علاوه بر مجموعه داده (۱) چهار مجموعه داده دیگر بطور جداگانه در نظر گرفته و برای هر یک از آنها مدل راندمان سیستم را بر حسب سایر پارامترها بدست می‌آوریم، سپس با اعمال رابطه میزان هوای اضافی بهینه و بار بویلر به هر کدام یک از مجموعه داده‌ها راندمان بهینه شده (راندمان به دست آمده با میزان هوای اضافی بهینه) را بدست آورده و با راندمان واقعی مقایسه می‌کنیم. هر مجموعه داده، مربوط به داده‌های کاری یک روز بویلر می‌باشد.

جدول ۳: میزان هوای اضافی بهینه در کلاس‌های مختلف

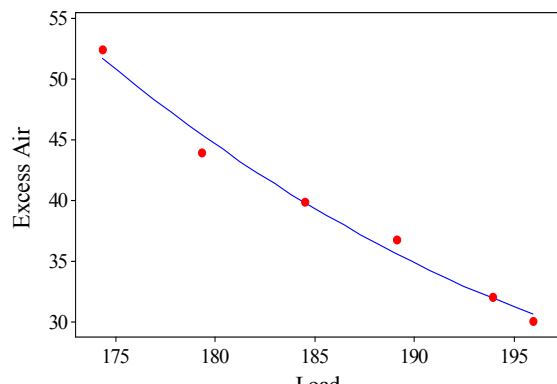
کلاس ۱	بار	۱۹۵/۹۳۳۵
	هوای اضافه	۳۰/۱۶۱۱
	راندمان	۹۰/۴۶۱۳
کلاس ۲	بار	۱۹۳/۹۰۴۵
	هوای اضافه	۳۲/۰۹۶۵
	راندمان	۸۹/۹۳۰۶
کلاس ۳	بار	۱۸۹/۰۹۵۷
	هوای اضافه	۳۶/۸۳۳۲
	راندمان	۸۹/۰۵۷۳
کلاس ۴	بار	۱۸۴/۴۷۱۳
	هوای اضافه	۳۹/۹۳۷۸
	راندمان	۸۸/۸۸۳۸
کلاس ۵	بار	۱۷۹/۳۱۴۶
	هوای اضافه	۴۴/۰۰۳۰
	راندمان	۸۸/۷۲۵۶
کلاس ۶	بار	۱۷۴/۳۲۶۶
	هوای اضافه	۵۲/۵۲۷۲
	راندمان	۸۸/۶۵۱۸



در نهایت با استفاده از روش رگرسیون و داده‌های جدول ۳ به رابطه (۱۱) بین بار بویلر (L) و میزان هوای اضافی بهینه (E) بدست می‌آید.

$$E = 798.2 - 7.225L + 0.0168L^2 \quad (11)$$

شکل ۵ نیز منحنی مربوط به این رابطه و داده‌های اصلی را نشان می‌دهد.



شکل ۵: رابطه بین میزان هوای اضافی بهینه و بار بویلر

۴- تست مجازی

به منظور ارزیابی عملکرد رابطه بدست آمده برای محاسبه

بیست و ششمین کنفرانس بین‌المللی برق

به منظور یک بررسی کلی دو معیار، درصد تعداد افزایش راندمان و درصد تعداد کاهش راندمان به صورت روابط (۱۳) تعریف می‌گردد [۲]:

$$\begin{aligned} \text{PPIE} &= \frac{\text{دقت مدل} \times (\text{تعداد کل داده‌ها} / \text{تعداد افزایش راندمان})}{\text{دقت مدل} \times (\text{تعداد کل داده‌ها} / \text{تعداد کاهش راندمان})} \\ &= \frac{\text{Dقت مدل}}{\text{Dقت مدل}} \quad (13) \end{aligned}$$

PPIE : percentage of instances with improved efficiency

PDIE : percentage of instances with decreased efficiency

با توجه به مدلسازی انجام شده و طبق نتایج جدول ۴ معیار PDIE برای همه مجموعه داده‌ها برابر صفر و معیار PPIE برابر با دقت مدل می‌باشد زیرا در هیچ کدام از مجموعه داده‌ها کاهش راندمان رخ نداده است بنابراین روش ارائه شده نسبت به سایر کارهای انجام شده قبلی [۲، ۱۱] توانسته است به طور موثرتری راندمان بویلر را افزایش دهد.

۴-۱- شبیه‌سازی زمانی راندمان بهینه شده

در این بخش به منظور ارزیابی دقیق‌تر عملکرد روش ارائه شده در افزایش راندمان بویلر، یک شبیه‌سازی زمانی ارائه می‌گردد به طوری که در زمانهای مختلف راندمان بهینه شده را با راندمان واقعی در آن لحظه بتوان به صورت دقیق مقایسه کرد. خروجی مدل به کار گرفته شده در این شبیه‌سازی طبق رابطه (۱۴) راندمان در زمان حال و ورودی‌های آن همان پارامترهای ورودی مدل (۱۲) به اضافه راندمان یک زمان قبل ($y(t-1)$) می‌باشد.

$$y(t) = b_0 + b_1 x_1(t) + b_2 x_2(t) + \dots + b_{10} x_{10}(t) + y(t-1) \quad (14)$$

که در این رابطه b_i ها به ازای $i = 1, 2, \dots, 10$ ثابت‌ها هستند که با به کارگیری روش مدلسازی PLS محاسبه می‌شوند. به طور نمونه نتایج این شبیه‌سازی برای دقیقه ۵۲ تا ۵۸ در شکل ۷ و برای دقیقه ۵۰ام و ۳ دقیقه بعد از آن در جدول ۵ نشان داده شده است.

جدول ۵: نتایج شبیه‌سازی برای $t=52$ و سه دقیقه بعد از آن

	$t=52$	$t=53$	$t=54$	$t=55$
راندمان ($t-1$)	۹۱/۶۵	۹۱/۵۵	۹۱/۷۷	۹۲/۸۷
راندمان (t)	۹۱/۵۵	۹۱/۷۷	۹۲/۸۷	۹۱/۲۸
راندمان واقعی	۸۸/۷۰۳	۸۸/۶۸	۹۰/۰۰۱	۸۸/۳۴

در هر مجموعه داده، راندمان بویلر در هر لحظه (t) با استفاده از پارامترهای درصد هوای اضافی (x_1)، دبی بخار خروجی (x_2)، دبی گاز کوره بلند (x_3)، دبی گاز طبیعی (x_4)، دبی آب تغذیه (x_5)، فشار آب تغذیه (x_6)، درجه حرارت آب تغذیه (x_7)، درجه حرارت بخار خروجی (x_8)، فشار بخار خروجی (x_9) و دبی آب اسپری (x_{10}) در همان لحظه مدل می‌شود. روشهای که به منظور مدلسازی مورد استفاده قرار می‌گیرد رگرسیون کمترین مربعات جزئی PLS (partial least-square regression (PLS)) است. روشن به طور گسترده به منظور تحلیل پیشگویانه، تحلیل رگرسیون چندگانه و تحلیل مدلسازی در حوزه‌های مهندسی، بیوشیمی و دیگر حوزه‌ها به خصوص هنگامی که تعداد متغیرها زیاد باشد و برخی از آنها دارای همبستگی چندگانه باشند مورد استفاده قرار می‌گیرد [۹]. به دلیل این‌که بسیاری از داده‌های عملی بویلر دارای همبستگی چندگانه هستند مدلسازی با روش PLS دارای مزایای زیادی نسبت به روشهای رگرسیون معمولی و سایر روشهای داده کاوی در این سیستم می‌باشد. مدل‌های بدست آمده با استفاده از روش PLS به فرم رابطه (۱۲) است.

$$y(t) = a_0 + a_1 x_1(t) + a_2 x_2(t) + \dots + a_{10} x_{10}(t) \quad (12)$$

که در این رابطه x_i ها و a_i ها به ازای $i = 1, 2, \dots, 10$ متغیرهای ورودی و ثابت‌ها، t زمان و y هم خروجی مدل (راندمان بویلر) است.

نتایج حاصل از مدلسازی و مقایسه‌های انجام شده بین راندمان واقعی و راندمان بهینه شده در جدول ۴ است.

جدول ۴: نتایج شبیه‌سازی برای پنج مجموعه داده

مجموعه داده	دقت مدل (%)	مینیمم افزایش راندمان	ماکرزمم افزایش راندمان	میانگین افزایش راندمان
مجموعه داده (۱)	۹۹/۹۵	۰/۰۱۷۱	۰/۶۳۷۵	۰/۴۶۱۶
مجموعه داده (۲)	۹۹/۹۶	۰/۱۵۷۷	۰/۴۴۵۳	۰/۳۸۲۳
مجموعه داده (۳)	۹۹/۹۳	۰/۷۵۳۶	۱/۲۵۳۴	۱/۱۰۰۹
مجموعه داده (۴)	۹۹/۹۴	۱/۹۶۸۶	۳/۱۳۵۵	۲/۹۹۶۹
مجموعه داده (۵)	۹۹/۹۸	۰/۳۸۳۲	۰/۵۱۸۴	۰/۴۶۷۶
میانگین		۰/۶۵۶۰۴	۱/۱۹۸۰۲	۱/۰۸۱۸۶

بیست و ششمین کنفرانس بین‌المللی برق

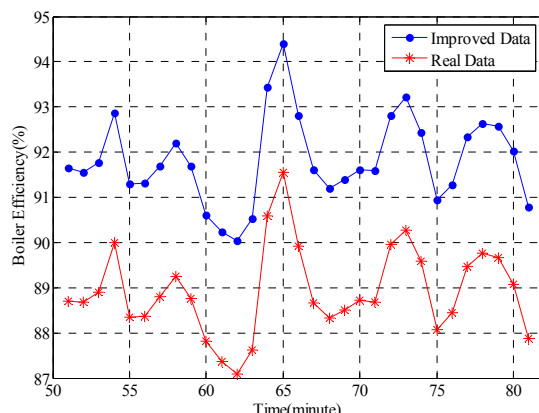
آزمایش برابر با $156/0$ درصد بوده است. یکی از مهمترین مزیتهای دیگر روش ارائه شده پیاده سازی عملی آسان آن با استفاده از نرم افزار کنترلی موجود در نیروگاه حرارتی ذوب آهن اصفهان می‌باشد.

سپاسگزاری

در نهایت از مدیریت پژوهش و فناوری و سرپرست و کارکنان نیروگاه حرارتی کارخانه ذوب آهن اصفهان که ما را در انجام این پژوهش یاری کردند تقدیر و تشکر می‌نماییم.

مراجع

- [1] Taplin. H, *Combustion Efficiency Tables*. Lilburn, GA: Fairmont Press, 1991.
- [2] Kusiak. A and Song. Z, "Combustion Efficiency Optimization and Virtual Testing: A Data-Mining Approach," *IEEE Trans. Ind. Inform.*, vol. 2, no. 3, pp.176-184, Aug.2006.
- [3] Jin. T and Fu. Z, "Data Mining for Complex Thermal System Modeling", *Int. Conf. Fuzzy Systems and Knowledge Discovery*, pp. 560-564, 2008.
- [4] Ming. L, Baoling. L and Jun. H, "Data Mining In Conditions Analysis At A Coal-Fired Utility Boiler," *Int. Conf. Inf. Eng and Computer*, pp. 1-4, 2009.
- [5] Havlena. V and Findejs. J, "Application of model predictive control to advanced combustion control," *Control Eng. Practice*, vol. 13, no. 6, pp. 671-680, 2005.
- [6] Kuprianov. V. I, "Applications of a cost-based method of excess air optimization for the improvement of thermal efficiency and environmental performance of steam boilers," *Renew. Sustain. Energy Rev.*, vol. 9, no. 5, pp. 474-498, 2005.
- [7] Krishna. G and Krishna. P, "A novel approach for statistical and fuzzy association rule mining on quantitative data", *Journal of scientific & industrial Research*, Vol.67, July 2008, pp.512-517.
- [8] Pellegrinetti. G and Bentsman. J, " H_∞ controller design for boilers," *Int. J. Robust Nonlinear Contr.*, vol. 4, pp. 645-671, 1994.
- [9] I.N. Wakeling, J.J. Morris, "A test of significance for partial least squares regression", *Journal of Chemometrics*, 1993, No.7, pp. 291-304.
- [10] Agrawel. R, Srikant. R, "Fast Algorithms for Mining Association Rules", *In proc of the VLDB Conference*, 1994.
- [11] Shieh. S. S, Chang. Y. H, Jang. S. S, Ma. M. D, Huang. T. S, "Statistical key variable analysis and model-based control for the improvement of thermal efficiency of a multi-fuel boiler," *journal of fuel and energy science and technology*, Vol. 89, no. 5, pp. 1141-1149, 2010.



شکل ۷: پاسخ زمانی بویلر

(نقطه: راندمان بهینه سازی شده، ستاره: راندمان واقعی)

همانطوریکه از نتایج جداول (۴) و (۵) و شکل (۷) مشخص است با به کارگیری روش پیشنهادی در تنظیم میزان هوای اضافی در سیستم بویلر، راندمان بویلر در همه زمانها بهبود پیدا کرده است که این امر باعث تنظیم شدن سیستم احتراق و کاهش مصرف سوخت بویلر و کاهش انتشار آلاینده‌های زیست محیطی خواهد شد.

۵- نتیجه

در این مقاله با به کارگیری تکنیک‌های مختلف داده‌کاوی و مجموعه‌های فازی راندمان بویلر نیروگاه حرارتی کارخانه ذوب آهن اصفهان بهبود می‌یابد. ابتدا با استفاده از تکنیک کلاس بندي، داده‌ها بر اساس بار بویلر در ۶ کلاس قرار گرفته و سپس برای هر یک از کلاس‌ها به طور جداگانه قواعد انجمانی فازی به کار گرفته شده و میزان هوای اضافی بهینه به منظور رسیدن به راندمان ماقزیم برای هر یک از کلاس‌ها و در اصل در بارهای مختلف بویلر بدست می‌آید سپس با استفاده از رگرسیون رابطه بین بار بویلر و میزان هوای اضافی بهینه به طور کلی محاسبه می‌گردد. در نهایت هم با به کارگیری یک تست مجازی که در آن راندمان بویلر بر اساس سایر پارامترها به روش رگرسیون کمترین مربعات جزئی مدل سازی شده است عملکرد روش ارائه شده در افزایش راندمان بویلر مورد بررسی قرار می‌گیرد به طوری که میانگین کمترین افزایش راندمان بویلر در طی انجام پنج